

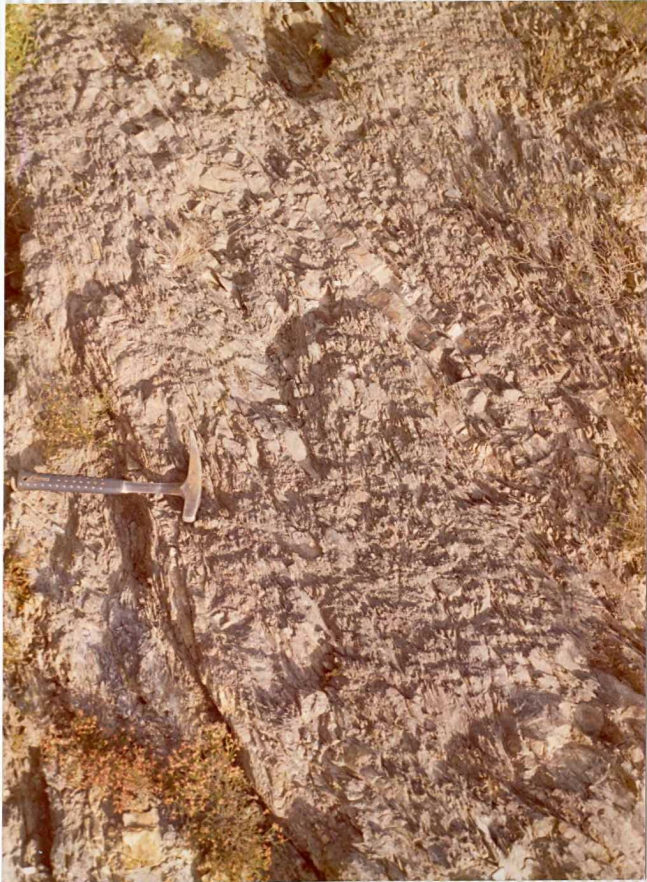


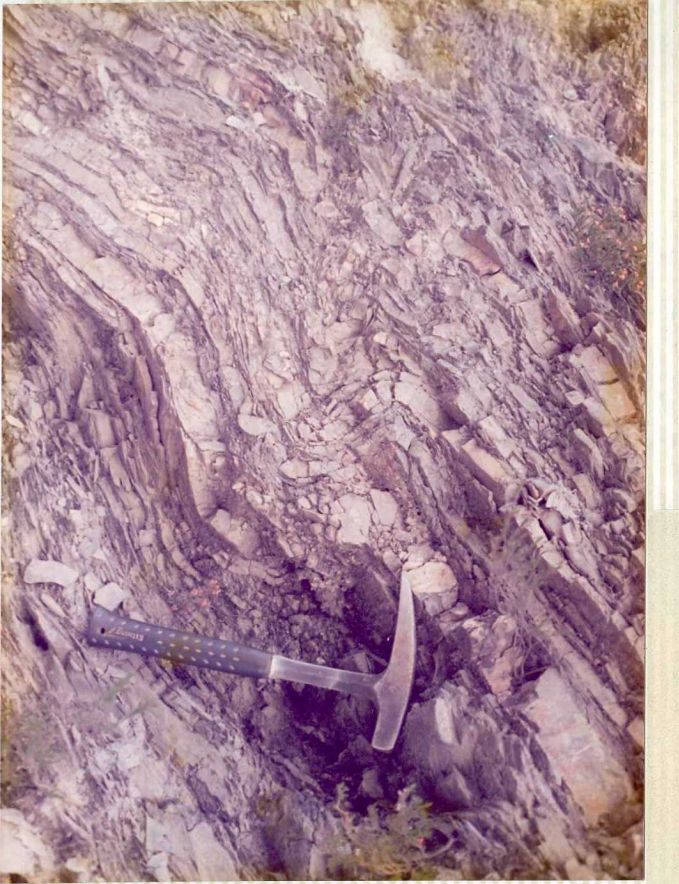
1.072.- Capas superiores del río  
Eo. Sinclinal de Villaodrid. ( $O_{42}^2$ )

1.073.- Capas superiores del río  
Eo. Sinclinal de Villaodrid. ( $O_{12}^2$ )



1.074.- Pliegues de la Fase 2 en  
pizarras con intercalaciones cuar-  
cíticas (Pizarras de Luarca). (02)





1.100.- Mesopliegues de Fase 1 en la Cuarcita de Candana inferior. Flanco inverso del anticlinal de Mondoñedo. (CA<sub>4</sub>)

1.075.- Pliegues de la Fase 2 en pizarras con intercalaciones cuaríticas. (Pizarras de Luarca). (O<sub>1</sub>)



1.080.- Crestón de la derecha: Cuarcitas de las capas superiores del río Eo. Flanco normal del sinclinal de Villaodrid. Crestón de la izquierda: Pizarras de Luarca.



1.084.- Pliegue de Fase 1 en la serie pelítico-arenosa de las Pizarras de Luarca. Sinclinal de Reccede  $(O_2)$



1.103.- Charnela anticinal en las Capas superiores del río Eo. Obsérvese la fuerte inmersión del eje del pliegue. (O<sub>22</sub>)

1.104.- Detalle de la anterior



1.105.- Cuarcita de Candana inferior. Obsérvese la refracción de la esquistosidad y los "mullions" en las capas cuarcíticas. (CA<sub>4</sub>)





1.106.- Mesopliques de Fase 1 en la Cuarcita de Candana inferior. Flanco inverso del anticlinal de Mondoñedo. (CA<sub>1</sub>)

1.075.- Pliegues de la Fase 1 en pizarras con intercalaciones cíticas. (Pizarras de Luarc)



1.107.- Mesopliegue en nivel cuarcítico dentro de las pizarras de Luarca. ( $\mathcal{O}_2$ )



127.- Kink-bands en los tramos de pizarras negras ampelíticas de las Pizarras de Candana.(CA, P1)

134.- Kink-band suaves en las Pi-  
zarras de Candana.(CA4P1)





137.- Flanco inverso en las Pizarras de Candana. Observese el marcado ángulo entre la estratificación y la esquistosidad. ( $S_1$ ). (CA<sub>1</sub>P<sub>1</sub>)

138.- Dique de diabasa muy alterado, atravesando las pizarras de las Capas de tránsito (b6<sup>3</sup>)





651.- Estrias verticales de falla  
en la caliza de Vegadeo. Cantera de  
Parajes. (CA<sub>1c</sub>)



653.- Charnela del anticlinal de  
Mondoñedo.



654.- Lineación de intersección (paralela al mango del martillo). Cuarcita de Candana superior. Charnela del anticlinal de Mondoñedo. (CA1q)



663.- Cabalgamiento en las Pizarras  
de Luarca. Sinclinal de Recedende.  
(O2)



664.- Cabalgamiento en las Pizarras de Luarca. Sinclinal de Recedende. ( $O_2$ )



665.- Cabalgamiento en la Caliza de Vegadeo. Observese el efecto del arrastre entre los bloques. Cantera de Vales. (AJc)



667.- Sinclinal de Fase 1 en la  
Caliza de Vegadeo. Cantera de Va-  
les. (CA<sub>1c</sub>)



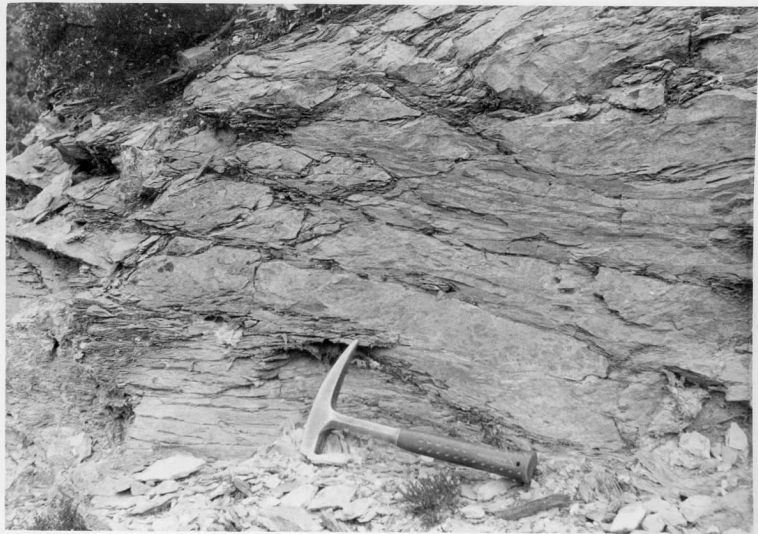
668.- Grietas de tensión rellenas  
de calcita en la Caliza de Vegadeo.  
Cantera de Vales .(CA<sub>1c</sub>)



670.- Grietas de tensión rellenas de calcita, anteriores a la fase 1, "boudinadas". Caliza de Vegadeo. Cantera de Parajes. (CA<sub>1c</sub>)



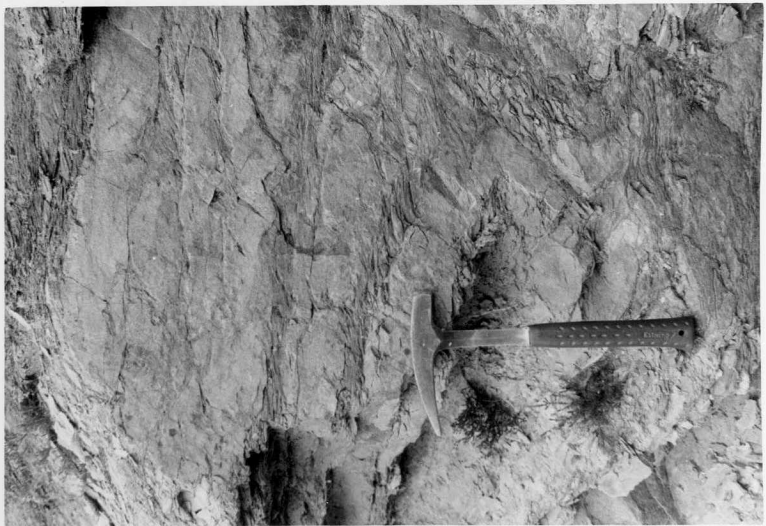
671.- "Boudines" producidos por la Fase 1, en grietas de tensión rellenas de calcita, en la Caliza de Vengadeo. Cantera de Parajes. (CA1c)



673.- Cuarcita de Candana inferior.  
Observese la refracción de la esquís-  
tosidad en las capas más competentes.  
Flanco normal basculado de un meso-  
pliegue dentro del flanco inverso  
del anticlinal de Mondoñedo. (CA<sub>1</sub>)



674.- Cuarcita de Candana inferior. Observese la refracción de la esquistosidad en las capas más competentes. Flanco normal basculado de un mesopliegue dentro del flanco inverso del anticlinal de Mondoñedo (CA1)



675.- Pliegue de 1a Fase 1 en 1a cuarcita de Candana inferior.(C<sub>A1</sub>)